

in Realität: (in Reflexion)

$$r = \sqrt{L}$$

$$E = \operatorname{Re} A e^{2\pi\nu i(t-x/c)} \left(1 + r e^{-i\delta} + r^2 e^{-i2\delta} + \dots + r^{p-1} e^{-i(p-1)\delta} \right)$$

$$E = \operatorname{Re} A e^{2\pi\nu i(t-x/c)} \frac{1 - r^p e^{-p\delta}}{1 - r e^{-i\delta}}$$

$p \rightarrow \infty$

$$E_\infty = \operatorname{Re} A e^{2\pi\nu i(t-x/c)} \frac{1}{1 - r e^{-i\delta}}$$

$$\langle E_\infty^2 \rangle = \frac{A^2/2}{1 + r^2 - 2r \cos \delta} = \frac{A^2/2}{(1 - r^2) + 4r \sin^2 \delta/2}$$

$r \ll 1$:

$$\langle E_\infty^2 \rangle \approx \frac{A^2}{2} (1 + 2r \cos \delta)$$

Zweistrahlinterferenz

$r \approx 1$:

$$1 - r = \epsilon \ll 1$$

$$\langle E_\infty^2 \rangle \approx \frac{A^2/2}{\epsilon^2 + 4 \sin^2 \delta/2}$$

Fabry-Perot-Interferometer

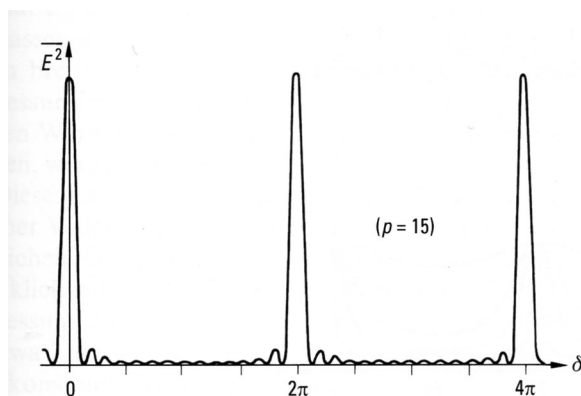


Abbildung 1: Interferenzmaxima bei Überlagerung von 15 ebenen Wellen gleicher Amplitude, die jeweils um die Phasendifferenz δ voneinander abweichen.

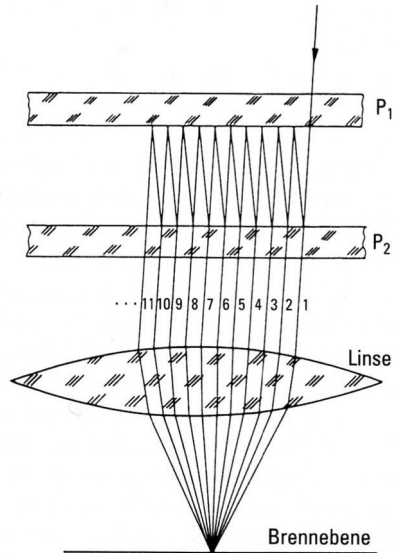


Abbildung 2: Interferometer von Fabry und Pérot (Brechung der Strahlen durch die Platten vernachlässigt).

τ	...	Transmissionsgrad der Spiegel
I_{ein}	...	einfallende Intensität
Z	...	Wellenwiderstand
A	...	Amplitude der eintretenden Welle
L	...	Reflexionsgrad

$$\tau \cdot I_{\text{ein}} = \frac{1}{2} \cdot \frac{A^2}{Z}$$

⇒ Abschwächung zw. 2 Teilwellen: L

Phasenunterschied zw. 2 Teilwellen:

$$\delta = \frac{4\pi nd}{\lambda}$$

$$I_{\text{aus}} = \tau \frac{1}{Z} \cdot \frac{E_{\infty}^2}{2}$$

E_{∞} ... austretende Gesamtfeldstärke

$$\frac{I_{\text{aus}}}{I_{\text{ein}}} = \frac{\tau^2}{(1-L)^2 + 4L \sin\left(\frac{2\pi}{\lambda} nd\right)}$$

$\tau = 1 - L$ nicht absorbierend

⇒ für Maxima: $I_{\text{aus}}^{\text{max}} = I_{\text{ein}}$

⇒ für Minima: $I_{\text{aus}}^{\text{min}} = I_{\text{ein}} \cdot \frac{\tau^2}{(1+L)^2} \approx I_{\text{ein}} \frac{\tau^2}{4}$

Halbwertsbreite Maxima:

$$\Delta d = \frac{\lambda}{\pi n} \arcsin \frac{1-L}{2\sqrt{L}} \approx \frac{(1-L)\lambda}{2\pi n}$$

Maxima für verschiedene Wellenlängen:

$$d_1 = \frac{k \lambda_1}{2n} \quad d_2 = \frac{k \lambda_2}{2n} \quad k = 0, 1, 2, \dots$$

2 Maxima gleicher Ordnung haben den Abstand δd :

$$\delta d = \frac{k(\lambda_1 - \lambda_2)}{2n} = k \frac{\delta \lambda}{2n}$$

2 Lichtwellen mit dem Wellenlängenunterschied $\delta \lambda$ können nur dann getrennt werden, wenn:

$$\underbrace{\Delta d}_{\text{HWBd. Maxima}} \leq \delta \lambda$$

$$\delta \lambda \ll \lambda \approx \lambda_1 \approx \lambda_2 \quad d \approx d_1 \approx d_2$$

$$\delta \lambda \geq \frac{(1-L)\lambda 2n}{2\pi n k} = \frac{(1-L)\lambda^2}{2\pi n d}$$

\Rightarrow Auflösungsvermögen:

$$\frac{\lambda}{\Delta \lambda} = \frac{2\pi n d}{(1-L)\lambda}$$

14 Beugung

14.1 Einleitung

Beugung: an endlichen Objekten treten Lichtstrahlen auf, die von der geometrischen Optik abweichen
Beugungsobjekt $\gg \lambda$

Streuung Beugungsobjekt $\approx \lambda$

Fresnel kombiniert:

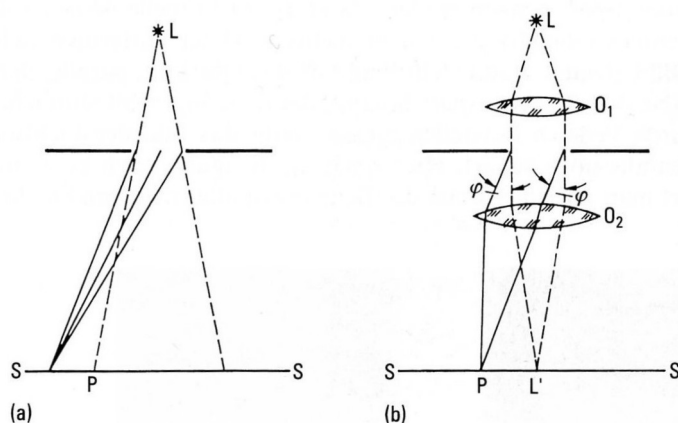


Abbildung 3: (a) Fresnel'sche und (b) Fraunhofer'sche Lichtbeugung an einer engen Öffnung.

- Huygenesches Prinzip:
von jedem Punkt einer Wellenfläche breitet sich eine kugelförmige Elementarwelle aus
- Interferenzprinzip von Th. Young

14.2 Beugung am Spalt

Phasendifferenz des ersten und letzten Strahls:

$$\Delta = 2\pi d/\lambda$$

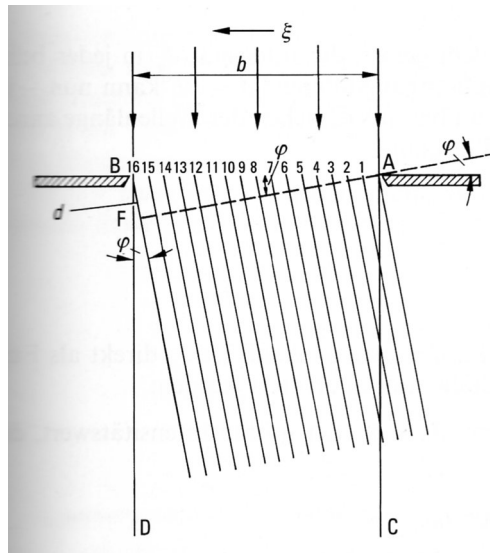


Abbildung 4: Zur Erklärung der Lichtbeugung an einem Spalt. Es werden nur parallele Richtungen, sowohl im senkrecht auffallenden als auch im gebeugten Licht, betrachtet.

Teilbündel:

$$\delta = \frac{2\pi}{\lambda} \cdot \frac{d}{p}$$

$$E_\varphi \propto \operatorname{Re} \beta e^{i2\pi(\nu t - l/\lambda)} \left(1 + e^{-i\delta} + \dots + e^{-i(p-1)\delta} \right)$$

⇒ Vielstrahlinterferenz:

$$E_\varphi \propto \operatorname{Re} \beta \frac{\sin A/2}{\sin \Delta/(2p)} e^{-i\Delta/2} e^{i\Delta/(2p)} e^{2\pi(\nu t - l/\lambda)}$$

$p \rightarrow \infty$:

$$E_\varphi \propto b \frac{\sin \Delta/2}{\Delta/2} \cos [2\pi(\nu t - l/\lambda) - \lambda/2]$$

⇒ Beugungsintensität:

$$E_\varphi \propto b^2 \frac{\sin^2 \left(\frac{\pi b}{\lambda} \sin \varphi \right)}{\frac{\pi b}{\lambda} \sin \varphi}$$

Hauptmax: $k = 0$

$$\text{Breite: } \frac{2\lambda}{b}$$

Minima:

$$\sin \varphi_k = \frac{k\lambda}{b} \quad k = 1, 2, 3, \dots$$

Maxima:

$$\sin \varphi'_k = \frac{2k+1}{2} \cdot \frac{\lambda}{b} \quad k = 1, 2, 3, \dots$$

Bild auf Schirm:

Linse mit Brennweite f

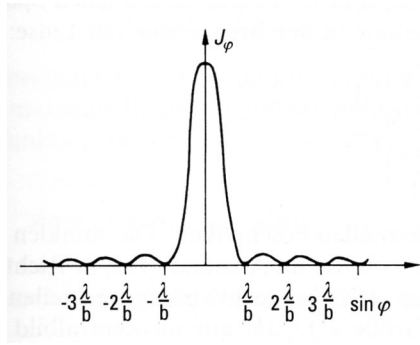


Abbildung 5: Intensitätsverteilung J_φ bei der Beugung monochromatischen Lichtes an einem Spalt. Die Höhe der Maxima ist nicht maßstäblich.

x ... Abstand vom Zentrum des Schirms

$$\tan \varphi = \frac{x}{f} \approx \sin \varphi$$

$$I_x \propto b^2 \frac{\sin^2 \left(\frac{\pi b x}{\lambda f} \right)}{\left(\frac{\pi b x}{\lambda f} \right)^2} \quad \frac{x}{f} \ll 1$$

quadratische Blende:

$$I_{x,y} \propto a^2 b^2 \frac{\sin^2 \left(\frac{\pi a x}{\lambda f} \right) \cdot \sin^2 \left(\frac{\pi b y}{\lambda f} \right)}{\left(\frac{\pi a x}{\lambda f} \right)^2 \cdot \left(\frac{\pi b y}{\lambda f} \right)^2} \quad \frac{x}{f} \ll 1$$

Beugung an einer Kreisförmigen Blende:

$$I_\varphi \propto \frac{I_1^2 \left(\frac{2\pi}{\lambda} R \sin \varphi \right)}{\left(\frac{2\pi}{\lambda} R \sin \varphi \right)^2}$$

$I_1(\dots)$... Besselfunktion 1. Ordnung

$$\begin{aligned} \text{dunkle Ringe: } r_1 &= 0,61 \frac{\lambda f}{R} \\ r_2 &= 1,116 \frac{\lambda f}{R} \\ r_3 &= 1,619 \frac{\lambda f}{R} \end{aligned}$$

14.3 Fourier-Trafo

$$E_\varphi \propto \text{Re} \left[e^{i2\pi(\nu t - l/\lambda)} \cdot \int_0^b e^{-i(\frac{1}{\lambda} \sin \varphi) \cdot \xi} d\xi \right]$$

$$I_\varphi \propto \langle E_\varphi^2 \rangle \propto b^2 \frac{\sin^2 \left(\frac{1}{\lambda} \pi b \sin \varphi \right)}{\frac{1}{\lambda} \pi b \sin \varphi}$$

rechteckige Blende:

$$E(x, y) \propto \text{Re} \left[e^{i2\pi(\nu t - l/\lambda)} \cdot \int_{-\infty}^{+\infty} \int_{-\infty}^{+\infty} F(\xi, \eta) \cdot e^{-i\frac{2\pi}{\lambda f}(x\xi + y\eta)} \cdot d\xi d\eta \right]$$

mit

$$F(\xi, \eta) = \begin{cases} 1 & \text{für } 0 \leq \xi \leq b, \quad 0 \leq \eta \leq a \\ 0 & \text{sonst} \end{cases}$$

Fraunhofersche Beugung:

Verteilung der elektr. Feldstärke in Beobachtungsebene = Fourier-rafo der Verteilung in der Ebene des beugenden Objekts \times Phasenfaktor

Babinet'sches Theorem:

Komplementäre Schirme liefern außerhalb des Bereiches der geometrisch-optischen Abb. die gleichen Beugungserscheinungen